

лучаем  $n_0^{(0)} = (1 - \mu^2)^{1/4} (2\varphi_0 R_0/h)^{1/2} - 1$ . Для рассматриваемой оболочки  $n_0^{(0)} = w^*(\alpha, \tau) = -5.9$ ; уточненное значение равно  $n_0 = -5.84$ . Квадрат безразмерной частоты линейных колебаний:  $\Omega_0^2 = 0.19$ .

При увеличении амплитуды частота нелинейных колебаний уменьшается и определяется зависимостью  $\Omega^2/\Omega_0^2 = 1 - 0.104a^2$ .

В моменты времени  $\tau = 0, 2\pi, 4\pi, \dots$  продольное перемещение столба жидкости в крайнее верхнее положение, отнесенное к толщине оболочки, равно  $\xi(0) = a$ ; оболочка находится в сжатом состоянии и параметр  $n$ , характеризующий ее изгиб, равен  $n(0) = 5.84 + 4.32a + 2.14a^2$ .

В моменты времени  $\tau = \pi, 3\pi, \dots$  продольное перемещение жидкости в крайнее нижнее положение равно  $\xi(\pi) = -a + 0.206a^2 - 0.042a^3$ ; оболочка находится в растянутом положении и параметр  $n$  равен  $n(\pi) = 5.84 - 4.32a + 3.02a^2$ .

Прогиб оболочки в этих положениях можно определить по формуле

$$w^*(\alpha, \tau) = \frac{1}{h} w(\alpha, \tau) = \xi(\tau) \left[ 1 + \frac{2}{n(\tau)} \right] (1 - \alpha^{n(\tau)})$$

На фиг. 2 показан безразмерный прогиб оболочки  $w^*(\alpha, \tau)$  в моменты времени  $\tau = 0$  (кривая 1) и  $\tau = \pi$  (кривая 2) соответствует  $-w^*(\alpha, \pi)$  при  $a = 1$ .

Приведенные вычисления показывают, что при амплитудах колебаний, превышающих толщину оболочки ( $a > 1$ ), геометрическая нелинейность оболочки оказывает существенное влияние как на частоту, так и на форму колебаний. Кроме того, следует отметить, что большое влияние на частоту нелинейных колебаний оказывает изменение формы колебаний. Например, если считать параметр  $n$  постоянным и равным  $n_0 = 5.84$ , то вместо зависимости  $\Omega^2/\Omega_0^2 = 1 - 0.104a^2$  получаем  $\Omega^2/\Omega_0^2 = 1 - 0.063a^2$ , и таким образом влияние нелинейности занижается почти вдвое.

Поступила 7 XII 1976

#### ЛИТЕРАТУРА

- Шклярчук Ф. Н. О влиянии сжимаемости жидкости при продольных колебаниях цилиндрического бака. В сб.: Колебания упругих конструкций с жидкостью. Изд-во Новосиб. электротехн. ин-та, 1973.

УДК 539.3

#### ЛУЧЕВОЙ МЕТОД РЕШЕНИЯ ДИНАМИЧЕСКИХ ЗАДАЧ В АНИЗОТРОПНОЙ ТЕРМОУПРУГОЙ СРЕДЕ

Ю. А. РОССИХИН

(Брянск)

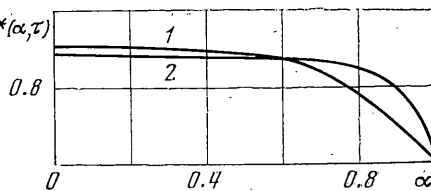
Основные задачи, связанные с распространением термоупругих апериодических волн в изотропной среде, обсуждались в [1].

В связи с трудностями математического характера, возникающими при выполнении обратного преобразования Лапласа, удается получить лишь приближенные решения, для нахождения которых используются методы возмущений и малых значений времени.

Ниже решается задача о распространении плоской ударной волны в анизотропной термоупругой среде с учетом конечности скорости распространения тепла, а в качестве метода решения используется лучевой метод [2, 3].

Принимается правило суммирования по повторяющимся индексам, индексы после запятой обозначают дифференцирование по соответствующей переменной. Латинские индексы принимают значения 1, 2, 3, греческие  $-1, 2$ .

1. Предположим, что к плоскости  $x_i v_i = 0$  ( $v_i$  — компоненты единичного вектора нормали), ограничивающей термоупругое анизотропное полупространство, прило-



Фиг. 2

жены компоненты вектора силы  $\sigma_i^o = \sigma_{ij}^o v_j$  и температура  $\theta^o$ , которые разложены в ряды Маклорена

$$\sigma_i^o = \sum_{k=0}^{\infty} \gamma_k^i \frac{t^k}{k!}, \quad \theta^o = \sum_{k=0}^{\infty} \alpha_k \frac{t^k}{k!} \quad (t>0) \quad (1.1)$$

где  $\gamma_k^i$  и  $\alpha_k$  — заданные постоянные величины.

Предположим далее, что начальные условия однородны. Задача сводится к решению системы дифференциальных уравнений [4] с краевыми условиями (1.1):

$$q_{j,t} + c_e \theta_{,t} + T_0 \beta_{ij} v_{i,j} = 0 \quad (1.2)$$

$$\tau q_{j,t} + q_{j,t} = -K_{jl} \theta_{,l} \quad (1.3)$$

$$\sigma_{ij,t} = \lambda_{ijkl} v_{k,l} - \beta_{ij} \theta_{,t} \quad (1.4)$$

$$\sigma_{ij,t} = \rho v_{i,t} \quad (1.5)$$

Здесь  $q_j$  — составляющие вектора теплового потока,  $\theta = T - T_0$  — температура тела,  $T_0$  — температура тела в естественном состоянии,  $c_e$  — удельная теплоемкость при постоянной деформации,  $\beta_{ij} = \lambda_{ijkl} \alpha_{kl}$ ,  $\alpha_{kl}$  — коэффициенты теплового расширения,  $\lambda_{ijkl}$  — изотермические коэффициенты жесткости материала,  $\tau$  — время релаксации теплового потока,  $K_{ij}$  — коэффициенты теплопроводности,  $v_i$  — компоненты скорости перемещения,  $\sigma_{ij}$  — тензор напряжений,  $\rho$  — плотность.

Уравнение сохранения энергии (1.2), закон Фурье (1.3), учитывающий инерцию теплового потока, соотношения Диамеля — Неймана (1.4) и уравнение движения (1.5) представляют собой систему 13 уравнений для определения 13 неизвестных функций  $q_j$ ,  $\sigma_{ij}$ ,  $v_i$ ,  $\theta$ .

2. Для нахождения решения за фронтами ударных волн, возникающих от действия на полупространство краевых условий (1.1), используем лучевой метод, состоящий в представлении искомых функций  $q_j$ ,  $\sigma_{ij}$ ,  $v_i$ ,  $\theta$  в виде рядов Тейлора по степеням  $t - x_i v_i c^{-1} \geq 0$ :

$$Z(x_i, t) = \sum_{k=0}^{\infty} \frac{1}{k!} \left( t - \frac{x_i v_i}{c} \right)^k [Z_{,t \dots t}]|_{t=x_i v_i c^{-1}} \quad (2.1)$$

Величины  $[Z_{,t \dots t}^{(k)}]$ , обозначающие скачки производных  $k$ -го порядка от искомой функции  $Z(x_i, t)$  на фронте ударной волны, определяются из системы (1.2) — (1.5) при помощи кинематических и геометрических условий совместности на поверхности разрыва [5].

В дальнейшем поверхность разрыва  $\Sigma$  будем интерпретировать как предельный слой толщины  $h$  при  $h \rightarrow 0$ , в котором величины изменяются от значений  $q_j^+$ ,  $\sigma_{ij}^+$ ,  $v_j^+$ ,  $\theta^+$  до значений  $q_j^-$ ,  $\sigma_{ij}^-$ ,  $v_j^-$ ,  $\theta^-$  монотонно и непрерывно.

Учитывая, что на волновой поверхности

$$\frac{\partial}{\partial x_i} = \frac{d}{dn} v_i + g^{\alpha\beta} \frac{\partial}{\partial y_\alpha} x_{i\beta}, \quad \frac{\partial}{\partial t} = -c \frac{d}{dn} + \frac{\delta}{\delta t} \quad (2.2)$$

где  $y_\alpha$  — координаты по поверхности,  $g^{\alpha\beta}$  — контравариантный метрический тензор волновой поверхности,  $d/dn$  — производная по нормали к  $\Sigma$ ,  $x_i$  — декартовы координаты поверхности,  $x_{i\beta} = x_{i\beta}$ ,  $\delta/\delta t$  обозначает  $\delta$ -дифференцирование соответствующей величины [5], и замечая, что при  $h \rightarrow 0$  вторыми слагаемыми в (2.2) можно пренебречь по сравнению с первыми, из (1.2) — (1.5) получим

$$\begin{aligned} \frac{dq_j}{dn} v_j - c c_e \frac{d\theta}{dn} + T_0 \beta_{ij} \frac{dv_i}{dn} v_j &= 0, & q_j &= -K_{jl} \frac{d\theta}{dn} v_l + \tau c \frac{dq_j}{dn} \\ -c \frac{d\sigma_{ij}}{dn} &= \lambda_{ijkl} \frac{dv_k}{dn} v_l + c \beta_{ij} \frac{d\theta}{dn}, & \frac{d\sigma_{ij}}{dn} v_j &= -\rho c \frac{dv_i}{dn} \end{aligned} \quad (2.3)$$

Интегрируя соотношения (2.3) по нормали к поверхности от  $-1/2h$  до  $1/2h$  и переходя к пределу при  $h \rightarrow 0$ , получим, что на  $\Sigma$  должны иметь место соотношения

$$\begin{aligned} [q_j] v_j - c c_e [\theta] + T_0 \beta_{ij} v_j [v_i] &= 0, & K_{jl} [\theta] v_l &= \tau c [q_j] \\ -c [\sigma_{ij}] &= \lambda_{ijkl} v_l [v_k] + c \beta_{ij} [\theta], & [\sigma_{ij}] v_j &= -\rho c [v_i] \end{aligned} \quad (2.4)$$

Из (2.4) находим

$$a_{ih} [\sigma_h] = b_i r c^2 (a^2 - c^2)^{-1} b_m [\sigma_m] \quad (2.5)$$

Здесь и в дальнейшем используются следующие обозначения:  $a_{ik}=s_{ik}-\rho c^2 \delta_{ik}$ ,  $s_{ik}=\lambda_{ijkl} v_j v_l$ ,  $[\sigma_i]=[\sigma_{ij}]v_j$ ,  $b_i=\beta_{ij}v_j$ ,  $b^2=b_i b_i$ ,  $r=T_0 c_e^{-1}$ ,  $a^2=\gamma(\tau c_e)^{-1}$ ,  $\gamma=K_{jl} v_j v_l$ .

Полагая, что  $b_m [\sigma_m] = \sigma \neq 0$ , из соотношения (2.5) будем иметь

$$[\sigma_i] = A_{im} b_m r c^2 (a^2 - c^2)^{-1} \sigma, \quad A_{ik} a_{jk} = \delta_{ij} \quad (2.6)$$

Умножая (2.6) на  $b_i$ , получим уравнение, определяющее скорости распространения ударных волн

$$a^2 - c^2 - r c^2 A_{ij} b_i b_j = 0 \quad (2.7)$$

Выражение (2.7) можно привести к более удобному виду, если ввести в рассмотрение главные направления  $l_i^{(1)}, l_i^{(2)}, l_i^{(3)}$  и главные значения  $\rho a_1^2, \rho a_2^2, \rho a_3^2$  симметричного тензора  $s_{ik}$ . Тогда

$$\begin{aligned} & (c^2 - a^2)(c^2 - a_1^2)(c^2 - a_2^2)(c^2 - a_3^2) - r c^2 \rho^{-1} \{ (b_i l_i^{(1)})^2 (c^2 - a_2^2)(c^2 - a_3^2) + \\ & + (b_i l_i^{(2)})^2 (c^2 - a_1^2)(c^2 - a_3^2) + (b_i l_i^{(3)})^2 (c^2 - a_1^2)(c^2 - a_2^2) \} = 0 \end{aligned} \quad (2.8)$$

Уравнение (2.8) определяет в общем случае четыре скорости  $c$ , следовательно, четыре типа ударных волн, распространяющихся в анизотропной термоупругой среде. В случае отсутствия связности ( $r=0$ ) из (2.7) получаем одну тепловую ( $c=a$ ) и три упругих волны ( $c=a_1, c=a_2, c=a_3$ ).

Для определения коэффициентов лучевого ряда (2.1) продифференцируем соотношения (1.2) – (1.5)  $k$  раз по времени и возьмем их разность на различных сторонах волновой поверхности. В результате получим

$$[q_{j,t\dots t}]^{(k+1)} + c_s [\theta_{t\dots t}]^{(k+1)} + T_0 \beta_{ij} [v_{i,t\dots t}]^{(k+1)} = 0 \quad (2.9)$$

$$\tau [q_{j,t\dots t}]^{(k+1)} + [q_{j,t\dots t}]^{(k)} = -K_{ji} [\theta_{i,t\dots t}]^{(k+1)} \quad (2.10)$$

$$[\sigma_{i,j,t\dots t}]^{(k+1)} = \lambda_{ijkl} [v_{h,l,t\dots t}]^{(k+1)} - \beta_{ij} [\theta_{i,t\dots t}]^{(k+1)} \quad (2.11)$$

$$[\sigma_{i,j,t\dots t}]^{(k+1)} = \rho [v_{i,t\dots t}]^{(k+1)} \quad (2.12)$$

Учитывая условие совместности для разрывов производной  $k$ -го порядка от некоторой функции  $Z(x_i, t)$  [5]

$$c [Z_{i,t\dots t}]^{(k)} = [-Z_{i,t\dots t}] v_i + \frac{\delta [Z_{i,t\dots t}]^{(k-1)}}{\delta t} v_i \quad (2.13)$$

из соотношения (2.10) – (2.12) найдем

$$\rho c [v_{i,t\dots t}]^{(k+1)} = -[\sigma_{i,t\dots t}]^{(k+1)} + \frac{\delta [\sigma_{i,t\dots t}]^{(k)}}{\delta t} \quad (2.14)$$

$$b_i \rho c^2 [\theta_{i,t\dots t}]^{(k+1)} = a_{im} [\sigma_{m,t\dots t}]^{(k+1)} - 2 s_{im} \frac{\delta [\sigma_{m,t\dots t}]^{(k)}}{\delta t} + s_{im} \frac{\delta^2 [\sigma_{m,t\dots t}]^{(k+1)}}{\delta t^2} \quad (2.15)$$

$$\begin{aligned} b_i \rho c^3 [q_{j,t\dots t}]^{(k+1)} v_j &= \gamma a_{im} \tau^{-1} [\sigma_{m,t\dots t}]^{(k+1)} - \\ &- \gamma (2 s_{im} + a_{im}) \tau^{-1} \frac{\delta [\sigma_{m,t\dots t}]^{(k)}}{\delta t} - \gamma a_{im} \tau^{-2} [\sigma_{m,t\dots t}]^{(k)} + f_i^{(k)} (t) \end{aligned} \quad (2.16)$$

$$f_i^{(k)} (t) = \gamma \sum_{n=0}^{k-1} L \left\{ a_{im} [\sigma_{m,t\dots t}]^{(n)} - 2 s_{im} \frac{\delta [\sigma_{m,t\dots t}]^{(n-1)}}{\delta t} + s_{im} \frac{\delta^2 [\sigma_{m,t\dots t}]^{(n-2)}}{\delta t^2} \right\} (-\tau)^{n-k+1} +$$

$$+ \gamma s_{im} \tau^{-1} L \left\{ 2 \frac{\delta^{(k-1)} [\sigma_{m,t...t}]}{\delta t} - \frac{\delta^2 [\sigma_{m,t...t}]}{\delta t^2} \right\} + \gamma s_{im} \tau^{-1} \frac{\delta^2 [\sigma_{m,t...t}]}{\delta t^2}$$

$$L = \frac{1}{\tau} + \frac{\delta}{\delta t}, \quad [\sigma_{i,t...t}] = [\sigma_{ij,t...t}] v_j$$

Умножая уравнение (2.9) на  $b_i$  и используя выражения (2.13) – (2.16), будем иметь

$$\begin{aligned} c_e [\sigma_{m,t...t}] \{ a_{im} (a^2 - c^2) - c^2 r b_i b_m \} &= \Omega_i^{(h)} \\ \Omega_i^{(h)} &= 2 \frac{\delta [\sigma_{m,t...t}]}{\delta t} \{ s_{im} (a^2 - c^2) c_e + a_{im} \gamma \tau^{-1} - T_0 c^2 b_i b_m \} + \gamma a_{im} \tau^{-2} [\sigma_{m,t...t}] - F_i^{(h)}(t) \\ F_i^{(h)}(t) &= f_i^{(h)}(t) - \frac{\delta f_i^{(h)}}{\delta t} - \frac{\delta^2 [\sigma_{m,t...t}]}{\delta t^2} \{ c_e s_{im} (c^2 - 2a^2) - \\ &- a_{im} \gamma \tau^{-1} + T_0 c^2 b_i b_m \} + \gamma a_{im} \tau^{-2} \frac{\delta [\sigma_{m,t...t}]}{\delta t} \end{aligned} \quad (2.17)$$

Умножая правую и левую часть соотношения (2.17) на  $A_{ih} b_h$  и учитывая выражение (2.7), получим

$$\Omega_i^{(h)} A_{ih} b_h = 0 \quad (2.18)$$

Полагая, что  $b_m [\sigma_{m,t...t}] = \sigma^{(h)}$ , из (2.17) при  $k$ , равном  $k-1$ , следует

$$[\sigma_{i,t...t}] = \frac{A_{im} b_m c^2 r}{a^2 - c^2} \sigma^{(h)} + \frac{\Omega_m^{(h-1)} A_{im}}{c_e (a^2 - c^2)} \quad (2.19)$$

Подставляя (2.19) в (2.18), получим рекуррентное уравнение, определяющее коэффициенты лучевого ряда

$$\frac{\delta \sigma^{(h)}}{\delta t} + \alpha \sigma^{(h)} = G^{(h)}(t) \quad (2.20)$$

$$\alpha = \gamma \tau^{-2} \beta^{-1}, \quad \beta = 2(\gamma \tau^{-1} + 2\rho c^4 r c_e A_{im} b_i A_{mh} b_h)$$

$$G^{(h)}(t) = \left( F_i^{(h)}(t) A_{ih} b_h - 2\rho c^2 A_{mh} b_h A_{im} \frac{\delta \Omega_i}{\delta t} \right) \beta^{-1} \quad (h>0)$$

Интегрируя уравнение (2.20) и учитывая, что  $G^{(h)}(t) = 0$  при  $h=0$ , будем иметь

$$\sigma^{(h)} = e^{-\alpha t} \int_0^t G^{(h)}(s) e^{\alpha s} ds + B_h e^{-\alpha t} \quad (h \geq 0) \quad (2.21)$$

Зная величины  $\sigma^{(h)}$ , из (2.19) определим  $[\sigma_{i,t...t}]$ , а затем из (2.15) при  $k$ , равном  $k-1$ , найдем  $[\theta_{i,t...t}]$ .

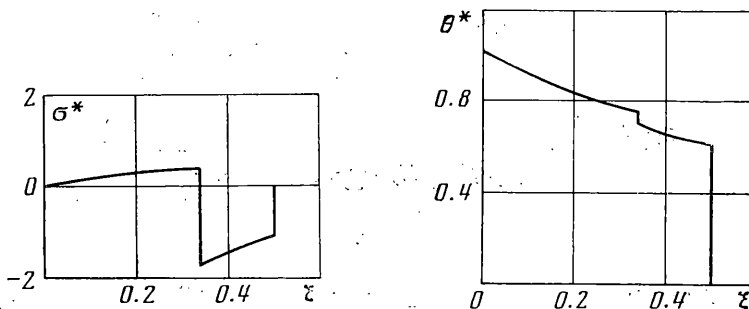
Так как каждой волне соответствуют свои величины  $[\sigma_{i,t...t}]^{(k)}, [\theta_{i,t...t}]^{(k)}$ , то общие выражения для компонент вектора силы  $\sigma_i$  и температуры  $\theta$  можно записать в виде

$$\sigma_i = \sum_{l=1}^4 \sum_{k=0}^{\infty} \frac{1}{k!} \left( t - \frac{x_j v_j}{c_{(l)}} \right)^k [\sigma_{i(l),t...t}]^{(k)}|_{t=x_j v_j / c_{(l)}} H\left(t - \frac{x_j v_j}{c_{(l)}}\right) \quad (2.22)$$

$$\theta = \sum_{l=1}^4 \sum_{k=0}^{\infty} \frac{1}{k!} \left( t - \frac{x_i v_i}{c_{(l)}} \right)^k [\theta_{i(l),t...t}]^{(k)}|_{t=x_i v_i / c_{(l)}} H\left(t - \frac{x_i v_i}{c_{(l)}}\right)$$

Здесь индекс  $l$  указывает на порядковый номер волны,  $H(t - x_i v_i c_{(l)})^{-1}$  — единичная функция Хевисайда,  $c_{(l)}$  — корни уравнения (2.8).

Четыре набора констант  $B_h^{(l)}$ , входящие в (2.22), определяются согласно краевым условиям (1.1).



В качестве примера рассмотрим распространение плоских волн, которые возникают в кристалле цинка вследствие теплового удара ( $\theta^* = 1$ ,  $\sigma_i^* = 0$ ). Термоупругие характеристики цинка взяты из [6]. Значение времени релаксации  $\tau$  принималось равным  $0.5 \cdot 10^{-11}$  сек [7],  $\sigma^* = \sigma_{33} \beta^{-1} c_0^{-2}$ ,  $c_0^2 = \lambda_{3333} \beta^{-1}$ ,  $\theta^* = \theta_{3333} \beta^{-1} T_0^{-2}$ ,  $\xi = x_3 c_0 c_e K_{33}^{-1}$ ,  $v_3 = 1$ ,  $v_1 = v_2 = 0$ .

Результаты расчета эпюй напряжения  $\sigma^*$  и температуры  $\theta^*$  приведены на figure. Вычисления проводились на ЭВМ с учетом пяти членов лучевого ряда.

Из графиков видно, что при  $\tau \neq 0$  напряжение и температура претерпевают разрыв в двух точках (моменты прихода двух волн) в отличие от случая  $\tau = 0$ , для которого напряжение разрывно в одной точке, а температура всюду непрерывна [1].

Таким образом, в случае конечной скорости распространения тепла ( $\tau \neq 0$ ) решение носит чисто волновой характер, и лучевой метод позволяет полностью решить поставленную задачу.

Для бесконечной скорости распространения тепла ( $\tau = 0$ ) решение содержит как волновой, так и диффузионные члены [1], и лучевой метод неприменим. В этом случае для нахождения решения используются методы возмущений и малых значений времени.

Поступила 22 IV 1974

#### ЛИТЕРАТУРА

- Новацкий В. Динамические задачи термоупругости. М., «Мир», 1970.
- Алексеев А. С., Бабич В. М., Гельчинский Б. Я. Лучевой метод вычисления интенсивности волновых фронтов. В сб.: Вопросы динамической теории распространения сейсмических волн. Изд-во ЛГУ, 1961.
- Achenbach J. D., Reddy D. P. Note on wave propagation in linearly viscoelastic media. Z. angew. Math. und Phys., 1967, Bd 18, Nr 1.
- Kaliski S. Wave equations of thermoelectromagnetoelasticity. Proc. Probl. Polish. Acad. Sci., 1965, vol. 6, No. 3.
- Томас Т. Пластическое течение и разрушение в твердых телах. М., «Мир», 1964.
- Най Дж. Физические свойства кристаллов. М., «Мир», 1967.
- Lord H. W., Shulman Y. A. generalized dynamical theory of thermo-elasticity. J. Mech. and Phys. Solids, 1967, vol. 15, No. 5.